



## بررسی خاستگاه و زمین دما- فشارسنجدی توده‌ی دیوریت گابرویی (جنوب قزوین- کردستان)؛ با تکیه بر شیمی کانی‌ها

طاهره مولایی یگانه، اشرف ترکیان<sup>\*</sup>، علی‌اصغر سپاهی

گروه زمین‌شناسی، دانشکده علوم پایه، دانشگاه بوعلی‌سینا، همدان

(دریافت مقاله: ۹۵/۲/۱۵، نسخه نهایی: ۹۵/۶/۱)

چکیده: توده‌ی دیوریت گابرویی در جنوب قزوین و در شمال منطقه‌ی سنندج- سیرجان قرار دارد. از نظر سنگ‌شناسی، آمفیبیول و پلازیوکلاز از کانی‌های اصلی این سنگ‌ها هستند. آمفیبیول‌ها از نوع کلسیک بوده و دارای ترکیب فروهورنبلند و منیزیوهورنبلندند. مقدار آلبیت در پلازیوکلازها ۳۹ تا ۸۱ درصد بوده و ترکیب آنها از لابرادوریت تا الیگوکلاز در تغییر است. با استفاده از روش‌های زوج کانی هورنبلند- پلازیوکلاز و محتوای آلومینیوم در آمفیبیول، دمای تبلور کانی‌های پلازیوکلاز و هورنبلند در ماقماهی دیوریت‌های گابرویی حدود ۷۲۳ درجه سانتی‌گراد ارزیابی شد. از روش اخیر چنین استنباط می‌شود که سنگ‌های حدواسط مورد بررسی در میانگین فشار ۳/۵ کیلوبار که معادل با عمق ۱۲ کیلومتری است، متبلور شده باشند. فشار بخشی اکسیژن در ماقماهی بالاست. محتوای  $\text{Na}_2\text{O}$  و ماهیت آهکی- قلیابی آمفیبیول‌ها ارتباط این سنگ‌ها را با رژیم زمین‌ساختی فروزانشی نشان می‌دهد. مقادیر  $\text{Mg}^{\#}$ ،  $\text{Al}_2\text{O}_3$  و  $\text{TiO}_2$  در هورنبلند حاکی از آمیزش منابع پوسته‌ای و گوشه‌ای برای تشکیل ماقماهی دیوریت‌های گابرویی دروازه است. تغییر ترکیب شیمیایی در طول بلورهای پلازیوکلاز نیز می‌تواند ناشی از نوسان  $\text{H}_2\text{O}$  در محیط تشکیل آنها و نیز تغییرات شیمیایی حاصل از ورود مواد پوسته‌ای باشد.

**واژه‌های کلیدی:** آمفیبیول، پلازیوکلاز، پوسته، گوشه، سنندج- سیرجان، قزوین.

فشار ۱/۵ تا ۱۲ کیلوبار و دمای ۴۰۰ تا ۱۱۵۰ درجه‌ی سانتی- گراد پایدارند. ترکیب شیمیایی آمفیبیول به نسبت ترکیب ماقماهی، فشار، دما، فشار بخشی اکسیژن و نوع فازهای همزیست تغییر می‌کند. مقدار Al در آمفیبیول‌های کلسیک وابسته به فشار و عمق تبلور است [۲]. از این رو بسیاری از پژوهشگران از ترکیب شیمیایی آمفیبیول برای برآورد دما- فشار و از زوج کانی آمفیبیول- پلازیوکلاز همزیست به منظور دستیابی به دمای تبلور استفاده کرده‌اند [۱۲-۹].

سال‌سنجدی، جایگاه زمین‌ساختی و سنگ‌زایی برخی از توده‌های مافیک- حدواسط در منطقه‌ی قزوین توسط پژوهشگران قبلی بررسی شده‌است.

### مقدمه

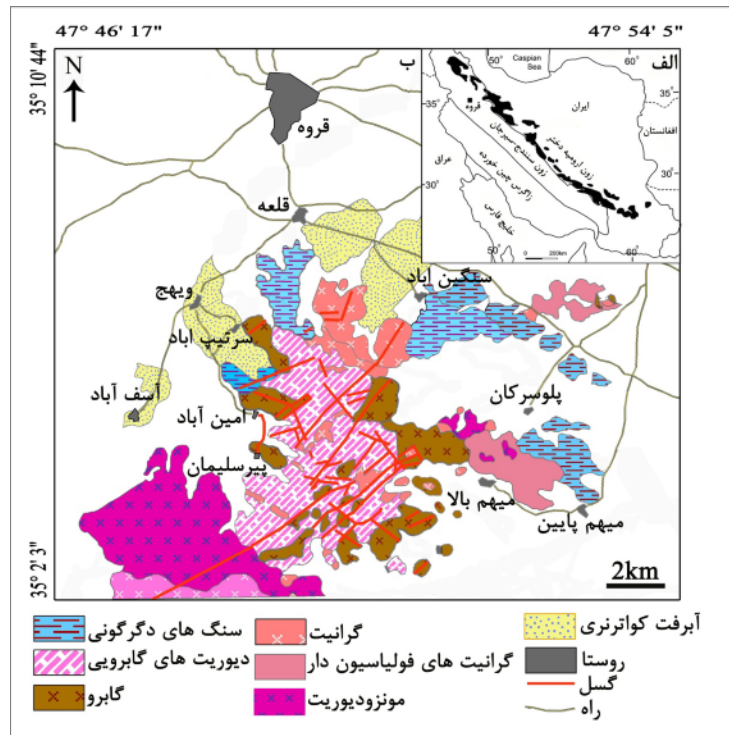
برآورد دما و فشار به همراه فشار بخشی اکسیژن در سیستم‌های ماقماهی، لازمه‌ی بازسازی سازوکار تشکیل سنگ‌هاست. آگاهی از عمق انجماد ماقماهای آهکی- قلیابی راهنمای خوبی برای دستیابی به دما و چگونگی تکامل شیمیایی کمرندهای کوهزایی است [۱]. برای تحقق این امر معمولاً از ترکیب شیمیایی کانی‌ها استفاده می‌شود. هورنبلند و پلازیوکلاز از جمله کانی‌ها متدال در سنگ‌های مافیک و حدواسط هستند که روش‌های دما- فشارسنجدی مختلفی براساس ترکیب آنها ارائه شده‌اند [۸-۱]. آمفیبیول‌ها کانی‌های متدال در ماقماهای آهکی- قلیابی آبدار (بیش از ۲ درصد) هستند که معمولاً در

سنندج-سیرجان و جنوب شهرستان قروه واقع شده است (شکل ۱) که با گویش محلی با نام توده دروازه شناخته می‌شود. دیوریت‌های گابرویی و گابروها بخش اعظم این توده را تشکیل می‌دهند. علاوه بر سنگ‌های مافیک و حدواسط رخنمون‌هایی از سنگ‌های فلزیک نیز در منطقه دیده می‌شوند که به صورت توده‌های کوچک در اطراف و داخل توده‌ی حدواسط-مافیک، و برخی به درون درز و شکاف‌های ناشی از حرکات زمین‌ساختی موجود در آنها تزریق شده‌اند. قدیمی‌ترین واحد چینه‌شناسی منطقه وابسته به تریاس، و شامل دولومیت‌های بلورین و آتشفسانی به سن ژوراسیک رسوب‌های تریاس را پوشانده‌اند. شیل، شیست و سنگ‌های دولومیت‌های خرد شده هستند. شیل، شیست و سنگ‌های آتشفسانی مجموعه‌ی رسوب‌ها را تشکیل می‌دهند که به صورت هم‌شبیب روی رسوب‌های کرتاسه بالایی-پالئوسن قرار گرفته‌اند [۱۶]. سنگ‌های دگرگون ناحیه‌ای (شیست، آمفیبولیت و مرمر) میزان سنگ‌های آذرین هستند که بالاترین درجه‌ی دگرگونی آنها تا حد رخساره‌ی آمفیبولیت براورد شده است. رخنمون هورنفلس‌ها در منطقه به خصوص در مجاور گرانیتوئیدها معرف رویداد دگرگونی مجاورتی است.

از جمله [۱۳] توده‌های مافیک غرب قروه (۱۴۸-۱۵۸ میلیون سال) را به محیط پشت قوس اقیانوسی و [۱۵, ۱۴] محیط کششی پشت قوس قاره‌ای را برای تشکیل سنگ‌های مافیک و فلزیک منطقه پیشنهاد داده‌اند. دما-فشار‌سنجی و فشار بخشی اکسیژن دیوریت‌های گابرویی جنوب قروه (معروف به کوه دروازه) تاکنون تعیین نشده است. حال آنکه، براورد دما، فشار و عمق جایگیری ماقمای یاد شده می‌تواند برای تکمیل تاریخچه تشکیل و شکل‌گیری منطقه‌ی سنندج-سیرجان مفید باشد. این مقاله بخشی از نتایج حاصل از پایان‌نامه‌ی مؤلف اول است که از ترکیب شیمیایی هورنبلند و پلازیوکلاز، به عنوان مهمترین کانی‌های تشکیل دهنده‌ی این سنگ‌ها، برای دست-یابی به شرایط دما-فشار، خاستگاه و عمق تشکیل سنگ‌های حدواسط منطقه استفاده شده است.

#### جایگاه زمین‌شناسی

سنگ‌های فلزیک بخش مهم توده‌های جنوب قروه را به خود اختصاص داده و توده‌های مافیک-حدواسط به نسبت حجم و بروزند کمتری دارند. منطقه‌ی مورد بررسی با مختصات جغرافیایی "۳۰° ۲' ۴۷" تا "۳۵° ۲۵' ۴۶" عرض شمالی و "۱۷° ۵' ۵۴" تا "۱۷° ۴۶' ۴۷" طول شرقی در شمال منطقه‌ی



شکل ۱ نقشه‌ی ساده‌ی زمین‌شناسی منطقه‌ی مورد بررسی (با تغییر از [۱۶]). الف) منطقه‌ی سنندج-سیرجان. ب) توده مافیک-حدواسط جنوب قروه (دروازه).

آمفیبول به صورت تمام شکل تا نیمه شکل دار، فراوان‌ترین کانی فرومیزین در سنگ‌های مورد بررسی است. ترکیب شیمیایی کانی نامبرده در حاشیه‌ی و مرکز یکسان و گاهی به بیوتیت تبدیل شده‌اند. اسفن‌ها بیشتر ریزدانه و بی‌شکل‌اند، ولی به ندرت درشت بلور و به صورت شکل‌دار دیده می‌شوند (شکل ۲ ب). اپیدوت و ایلمنیت، ریزدانه و عموماً بی‌شکل و آپاتیت‌ها ریز بلور و کشیده هستند.

#### روش پژوهش

به منظور بررسی شیمی کانی‌های سنگ‌های مورد بررسی ۳۹ نقطه از ۱۷ بلور هورنبلندها و ۶۴ نقطه از ۹ بلور پلازیوکلاز به-وسیله‌ی دستگاه ریزپردازندۀ الکترونی مدل SX-50 در آزمایشگاه علوم زمین دانشگاه برینگهام (آمریکا) تجزیه شدند. آزمایش‌های انجام شده در شرایط تابش پرتو با ولتاژ شتاب-دهنده ۱۵ kV و شدت جریان ۳۰ nA قطر باریکه‌ی الکترونی ۲ تا ۲۰ میکرونی انجام گرفت. در این روش، کانی‌های مصنوعی و طبیعی به عنوان استاندارد استفاده شدند. نتایج بررسی‌ها در جدول‌های ۱ و ۲ ارائه شده‌اند.

#### شیمی کانی‌ها آمفیبول

گسترده‌ی Si در آمفیبول‌ها برابرند با ۶/۵۳ تا ۷/۸۵ اتم در واحد فرمولی (apfu) و محتوای Na<sub>2</sub>O آن‌ها ۰/۳۶-۰/۳۶ apfu است. مقدار کلسیم موجود در جایگاه B (BCa) بین ۱/۶۷ تا ۱/۹۹ و میزان سدیم در جایگاه B (BNa) کمتر از ۰/۵ است که با توجه به این مقدار که از نوع آمفیبول‌های کلسیک هستند.

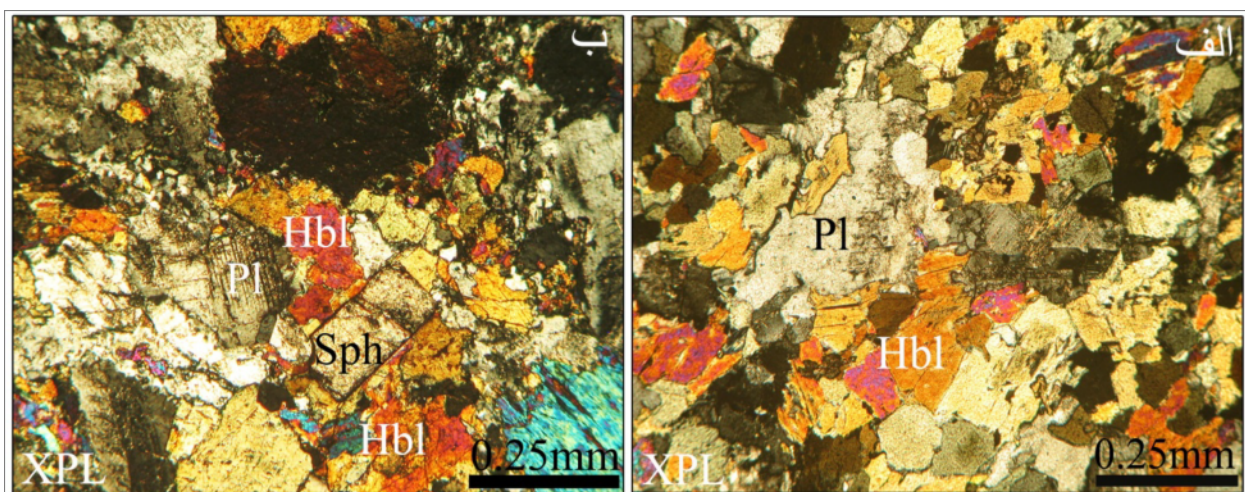
حریری [۱۷] با توجه به مجموعه کانی‌شناسی در سنگ‌های دگرگون، بیشترین حد دگرگونی مجاورتی منطقه را رخساره پیروکسن هورنفلس در نظر گرفته است. ولی رضوانی [۱۸] سنگ‌های این نوع دگرگونی را شامل اسلیت‌های لکه‌دار، میکا‌هورنفلس و کردیریت هورنفلس دانسته که از رخساره‌ی الیت-اپیدوت هورنفلس تا هورنبلنده هورنفلس دستخوش دگرگونی شده‌اند.

#### مشاهدات صحرایی و سنگ‌نگاری

دیوریت‌های گابرویی و گابروها بخش عمده سنگ‌های منطقه مورد بررسی را تشکیل می‌دهند که با سنگ میزبان دگرگون خود دارای مرز واضح هستند. به علاوه سنگ‌های فلزیک به شکل دایک-استوک در اشکال نامنظم و ابعاد مختلف در آن‌ها تزریق شده‌اند. حضور دو دسته درزه در سنگ‌ها و نیز ساختارهای میلیونیتی بیانگر عملکرد فرآیندهای دینامیکی در منطقه است. هرچند حضور برونبوم‌های مافیک در سنگ‌های فلزیک به ندرت دیده می‌شود، ولی این ممکن است حاکی از اختلاط ماقم‌های فلزیک و مافیک باشد.

#### دیوریت‌های گابرویی

دیوریت‌های گابرویی ریز تا میان دانه، مزوکرات و متشکل از کانی‌های اصلی پلازیوکلاز (۲۰-۳۰٪) به همراه آمفیبول (۰-۴۰٪) و کانی‌های فرعی کوارتز (۰-۵٪)، اسفن (۰-۷٪)، آپاتیت (۰-۴٪) و ایلمنیت (۰-۵٪)، کانی‌های ثانویه شامل اپیدوت (۰-۸٪) و بیوتیت (۰-۵٪) هستند. بافت از نوع دانه‌ای (شکل ۲ الف) تا درون‌دانه‌ای و گاهی پورفیروئیدی است. پلازیوکلازها نیمه‌شکل‌دار تا بی‌شکل، و بیشتر دارای منطبق‌بندی هستند.



شکل ۲ الف) بافت دانه‌ای در دیوریت‌های گابرویی. ب) تصویر میکروسکوپی از دیوریت‌های گابرویی همراه با اسفن‌های شکل‌دار، پلازیوکلاز و هورنبلنده.

جدول ۱ نتایج حاصل از تجزیه نقطه‌ای آمفیبول‌ها در دیوریت‌های گابروی منطقه.

Sample	SiO <sub>2</sub>	TiO <sub>2</sub>	Al <sub>2</sub> O <sub>3</sub>	FeO <sup>t</sup>	MnO	MgO	CaO	Na <sub>2</sub> O	K <sub>2</sub> O	F	Cl	H <sub>2</sub> O*	Total
6_C1_C	44.27	1.40	9.08	18.92	0.20	8.76	11.76	1.35	1.00	0.14	0.20	1.84	98.82
6_C2_C	43.84	1.73	8.72	19.57	0.28	8.55	11.38	1.53	1.01	0.10	0.25	1.84	98.70
6_C2_E	45.12	1.55	8.79	17.91	0.20	9.12	11.76	1.24	0.98	0.15	0.26	1.83	98.77
6_C3_A	43.64	1.75	8.95	19.21	0.30	8.47	11.64	1.51	1.10	0.15	0.34	1.79	98.70
6_C3_C	44.34	1.85	9.29	18.65	0.26	8.25	12.14	1.19	1.07	0.16	0.30	1.80	99.17
22_C1_A	50.73	0.70	4.13	15.45	0.31	12.63	11.37	0.72	0.36	0.10	0.11	1.95	98.48
22_C2_A	49.39	0.82	5.68	15.81	0.27	11.64	11.93	0.77	0.48	0.07	0.14	1.95	98.87
22_C2_B	50.79	0.62	4.69	14.29	0.27	12.46	12.05	0.55	0.38	0.06	0.11	1.96	98.15
22_C2_E	48.92	0.83	5.65	16.18	0.29	11.74	11.99	0.73	0.49	0.08	0.18	1.93	98.93
22_C3_A	49.94	0.87	5.24	15.18	0.29	12.16	12.06	0.74	0.45	0.16	0.17	1.91	99.02
22_C3_C	49.34	0.98	5.19	15.85	0.25	11.97	11.65	0.94	0.52	0.09	0.16	1.93	98.60
22_C4_A	47.20	1.13	6.95	16.80	0.26	10.94	11.83	1.11	0.85	0.03	0.26	1.92	99.01
22_C4_B	47.60	0.93	6.65	16.75	0.34	11.66	11.38	1.21	0.53	0.14	0.23	1.90	99.21
22_C4_C	53.58	0.11	2.19	14.55	0.35	14.28	11.36	0.50	0.13	0.14	0.10	1.98	99.20
24_C1_A	46.48	0.85	6.18	17.78	0.37	10.80	11.49	1.10	0.46	0.11	2.44	1.30	98.77
24_C1_B	46.59	0.92	6.92	17.87	0.34	10.76	11.58	1.09	0.57	0.09	0.32	1.88	98.81
24_C1_E	46.71	0.64	6.46	18.24	0.37	10.80	11.49	0.98	0.38	0.08	0.16	1.91	98.14
24_C2_A	46.35	1.23	6.70	17.64	0.38	10.59	11.38	1.07	0.61	0.13	0.18	1.88	98.04
24_C2_C	46.52	1.21	6.79	17.62	0.31	10.82	11.38	1.04	0.61	0.11	0.15	1.90	98.16
24_C3_C	46.58	1.09	6.42	18.91	0.35	10.70	11.31	0.99	0.57	0.11	0.13	1.92	99.00
24_C3_E	46.91	1.20	6.09	18.07	0.35	11.01	11.62	0.98	0.56	0.08	0.11	1.94	98.86
24_C3_F	45.84	1.35	6.91	18.62	0.37	10.28	11.33	1.16	0.85	0.08	0.18	1.91	98.59
24_C3_G	53.86	0.08	0.94	13.95	0.35	15.31	12.03	0.38	0.05	0.11	0.18	1.98	99.09
24_C4_A	46.83	1.02	6.09	19.59	0.25	10.45	10.87	1.10	0.56	0.15	0.11	1.90	98.84
24_C4_B	47.06	0.73	6.37	19.03	0.30	10.73	11.33	1.04	0.40	0.08	0.12	1.94	99.07
24_C4_E	45.40	1.49	6.90	20.93	0.46	10.09	10.49	1.09	0.87	0.08	0.15	1.94	99.64
24_C5_A	45.29	1.32	7.74	18.85	0.38	9.74	11.44	1.11	0.71	0.10	0.20	1.89	98.68
24_C5_B	46.33	0.95	6.69	18.19	0.35	10.66	11.61	1.12	0.53	0.09	0.40	1.84	98.63
24_C5_A	51.69	0.26	3.07	15.04	0.37	13.48	11.82	0.47	0.11	0.09	0.07	1.99	98.89
24_C5_C	46.60	0.33	7.50	18.34	0.49	10.37	11.51	1.09	0.36	0.05	0.16	1.94	98.69
35_C1_A	50.84	0.25	6.47	11.07	0.18	15.18	12.53	0.67	0.17	0.03	0.03	2.07	99.46
35_C1_D	48.28	0.35	8.32	12.48	0.19	13.94	12.11	0.87	0.29	0.08	0.03	2.02	98.91
35_C2_A	51.59	0.23	4.81	10.18	0.32	16.00	12.63	0.59	0.10	0.05	0.02	2.05	98.54
35_C2_D	46.86	0.45	10.16	12.58	0.30	12.49	12.32	1.14	0.34	0.03	0.06	2.01	98.71
35_C2_E	48.87	0.61	7.41	12.05	0.29	14.13	12.37	0.82	0.21	0.10	0.04	2.00	98.65
35_C3_B	44.40	0.54	11.42	14.70	0.24	11.83	12.09	1.49	0.41	0.11	0.13	1.95	99.22
35_C3_C	49.17	0.35	7.56	11.43	0.20	14.57	12.53	0.91	0.23	0.08	0.05	2.02	99.07
35_C4_A	47.76	0.35	8.75	12.61	0.19	13.35	12.36	1.04	0.25	0.11	0.06	1.99	98.82
35_C4_D	46.45	0.45	9.50	13.04	0.21	12.97	12.31	1.11	0.31	0.05	0.07	2.00	98.44

ادامه جدول ۱ محاسبه کاتیون‌ها براساس ۲۳ اکسیژن.

Sample	Si	Al <sup>I</sup>	Al <sup>IV</sup>	Al <sup>VII</sup>	Ti	Fe <sup>I</sup>	Fe <sup>+2</sup>	Fe <sup>+3</sup>	Mn	Mg	Ca	Na <sup>I</sup>	K	BCa	BNa	F	Cl	Mg#	Type
6_C1_C	۸,۷۴	۱,۶۳	۱,۲۶	۰,۳۷	۰,۱۶	۲,۴۱	۲,۲۰	۰,۲۱	۰,۰۳	۱,۹۹	۱,۹۲	۰,۴۰	۰,۱۹	۱,۹۳	۰,۰۷	۰,۰۷	۰,۰۵	۰,۴۸	فروهورنبلند
6_C2_C	۸,۷۱	۱,۵۷	۱,۲۹	۰,۲۹	۰,۲۰	۲,۵۱	۲,۲۴	۰,۲۷	۰,۰۴	۱,۹۵	۱,۸۷	۰,۴۵	۰,۲۰	۱,۸۷	۰,۱۳	۰,۰۵	۰,۰۷	۰,۴۷	فروهورنبلند
6_C2_E	۸,۸۴	۱,۵۷	۱,۱۶	۰,۴۱	۰,۱۸	۲,۲۷	۲,۱۲	۰,۱۵	۰,۰۳	۲,۰۶	۱,۹۱	۰,۳۶	۰,۱۹	۱,۹۲	۰,۰۸	۰,۰۷	۰,۰۷	۰,۴۹	فروهورنبلند
6_C3_A	۸,۷۰	۱,۶۲	۱,۳۱	۰,۳۱	۰,۲۰	۲,۴۶	۲,۲۷	۰,۱۹	۰,۰۴	۱,۹۴	۱,۹۱	۰,۴۵	۰,۲۲	۱,۹۲	۰,۰۸	۰,۰۸	۰,۰۹	۰,۴۶	فروهورنبلند
6_C3_C	۸,۷۵	۱,۶۷	۱,۲۵	۰,۴۲	۰,۲۱	۲,۳۸	۲,۲۳	۰,۰۵	۰,۰۳	۱,۸۷	۱,۹۸	۰,۳۵	۰,۲۱	۱,۹۹	۰,۰۱	۰,۰۸	۰,۰۸	۰,۴۵	فروهورنبلند
22_C1_A	۷,۵۱	۰,۷۲	۰,۴۹	۰,۲۲	۰,۰۸	۱,۹۱	۱,۷۶	۰,۱۵	۰,۰۴	۲,۷۹	۱,۸۰	۰,۲۱	۰,۰۷	۱,۸۰	۰,۰۵	۰,۰۵	۰,۰۳	۰,۶۱	اکتنیولیت
22_C2_A	۷,۳۱	۰,۹۹	۰,۶۹	۰,۳۰	۰,۰۹	۱,۹۶	۱,۷۷	۰,۱۹	۰,۰۳	۲,۵۷	۱,۸۹	۰,۲۲	۰,۰۹	۱,۹۰	۰,۱۰	۰,۰۳	۰,۰۴	۰,۵۹	مگنزیووهورنبلند
22_C2_B	۷,۵۲	۰,۸۲	۰,۴۹	۰,۳۳	۰,۰۷	۱,۷۷	۱,۷۱	۰,۰۶	۰,۰۳	۲,۷۵	۱,۹۱	۰,۱۶	۰,۰۷	۱,۹۲	۰,۰۸	۰,۰۳	۰,۰۳	۰,۶۲	اکتنیولیت
22_C2_E	۷,۲۵	۰,۹۹	۰,۷۵	۰,۲۴	۰,۰۹	۲,۰۱	۱,۷۵	۰,۲۶	۰,۰۴	۲,۶۰	۱,۹۱	۰,۲۱	۰,۰۹	۱,۹۱	۰,۰۹	۰,۰۴	۰,۰۵	۰,۶۰	مگنزیووهورنبلند
22_C3_A	۷,۳۶	۰,۹۱	۰,۶۴	۰,۲۷	۰,۱۰	۱,۸۷	۱,۷۰	۰,۱۷	۰,۰۴	۲,۶۷	۱,۹۱	۰,۲۱	۰,۰۸	۱,۹۱	۰,۰۹	۰,۰۷	۰,۰۴	۰,۶۱	مگنزیووهورنبلند
22_C3_C	۷,۳۲	۰,۹۱	۰,۶۸	۰,۲۳	۰,۱۱	۱,۹۴	۱,۷۲	۰,۲۲	۰,۰۳	۲,۶۵	۱,۸۵	۰,۲۷	۰,۱۰	۱,۸۶	۰,۱۴	۰,۰۴	۰,۰۴	۰,۶۱	مگنزیووهورنبلند
22_C4_A	۷,۰۵	۱,۲۲	۰,۹۵	۰,۲۷	۰,۱۳	۲,۱۰	۱,۸۵	۰,۲۵	۰,۰۳	۲,۴۴	۱,۸۹	۰,۳۲	۰,۱۲	۱,۹۰	۰,۱۰	۰,۰۱	۰,۰۷	۰,۵۷	مگنزیووهورنبلند
22_C4_B	۷,۰۶	۱,۱۶	۰,۹۴	۰,۲۲	۰,۱۰	۲,۰۸	۱,۶۶	۰,۴۱	۰,۰۴	۲,۵۸	۱,۸۱	۰,۳۵	۰,۱۰	۱,۸۰	۰,۲۰	۰,۰۷	۰,۰۶	۰,۶۱	مگنزیووهورنبلند
22_C4_C	۷,۸۰	۰,۳۸	۰,۲۰	۰,۱۸	۰,۰۱	۱,۷۷	۱,۷۰	۰,۰۷	۰,۰۴	۳,۱۰	۱,۷۷	۰,۱۴	۰,۰۳	۱,۷۶	۰,۱۴	۰,۰۶	۰,۰۳	۰,۶۵	اکتنیولیت
24_C1_A	۷,۰۶	۱,۱۱	۰,۹۴	۰,۱۶	۰,۱۰	۲,۲۶	۱,۸۴	۰,۴۲	۰,۰۵	۲,۴۴	۱,۸۷	۰,۳۳	۰,۰۹	۱,۸۷	۰,۱۳	۰,۰۵	۰,۶۳	۰,۵۷	مگنزیووهورنبلند
24_C1_B	۸,۹۹	۱,۲۲	۱,۰۱	۰,۲۲	۰,۱۰	۲,۲۴	۱,۸۳	۰,۴۲	۰,۰۴	۲,۴۱	۱,۸۶	۰,۳۲	۰,۱۱	۱,۸۶	۰,۱۴	۰,۰۴	۰,۰۸	۰,۵۷	مگنزیووهورنبلند
24_C1_E	۷,۰۳	۱,۱۵	۰,۹۷	۰,۱۸	۰,۰۷	۲,۳۰	۱,۷۴	۰,۵۵	۰,۰۵	۲,۴۲	۱,۸۵	۰,۲۹	۰,۰۷	۱,۸۵	۰,۱۵	۰,۰۴	۰,۰۵	۰,۵۸	مگنزیووهورنبلند
24_C2_A	۷,۰۱	۱,۱۹	۰,۹۹	۰,۲۰	۰,۱۴	۲,۲۳	۱,۸۵	۰,۳۸	۰,۰۵	۲,۳۹	۱,۸۴	۰,۳۱	۰,۱۲	۱,۸۴	۰,۱۶	۰,۰۶	۰,۰۵	۰,۵۶	مگنزیووهورنبلند
24_C2_C	۷,۰۱	۱,۲۱	۰,۹۹	۰,۲۲	۰,۱۴	۲,۲۲	۱,۸۵	۰,۳۸	۰,۰۴	۲,۳۹	۱,۸۴	۰,۳۱	۰,۱۲	۱,۸۴	۰,۱۶	۰,۰۵	۰,۰۴	۰,۵۶	مگنزیووهورنبلند
24_C3_C	۸,۹۸	۱,۱۳	۱,۰۲	۰,۱۱	۰,۱۲	۲,۳۷	۱,۸۲	۰,۵۵	۰,۰۵	۲,۳۹	۱,۸۲	۰,۲۹	۰,۱۱	۱,۸۱	۰,۱۹	۰,۰۵	۰,۰۳	۰,۵۷	مگنزیووهورنبلند
24_C3_E	۷,۰۳	۱,۰۸	۰,۹۷	۰,۱۱	۰,۱۴	۲,۲۷	۱,۸۱	۰,۴۵	۰,۰۵	۲,۴۶	۱,۸۷	۰,۲۸	۰,۱۱	۱,۸۶	۰,۱۴	۰,۰۴	۰,۰۳	۰,۵۸	مگنزیووهورنبلند
24_C3_F	۸,۹۲	۱,۲۳	۱,۰۸	۰,۱۵	۰,۱۵	۲,۳۵	۱,۹۲	۰,۴۳	۰,۰۵	۲,۳۲	۱,۸۳	۰,۳۴	۰,۱۳	۱,۸۳	۰,۱۷	۰,۰۴	۰,۰۵	۰,۵۵	مگنزیووهورنبلند
24_C3_G	۷,۸۵	۰,۱۶	۰,۱۵	۰,۰۱	۰,۰۱	۱,۷۰	۱,۶۳	۰,۰۷	۰,۰۴	۳,۳۳	۱,۸۸	۰,۱۰	۰,۰۱	۱,۸۷	۰,۱۰	۰,۰۵	۰,۰۴	۰,۶۷	اکتنیولیت
24_C4_A	۷,۰۵	۱,۰۸	۰,۹۵	۰,۱۳	۰,۱۲	۲,۴۷	۱,۹۸	۰,۴۸	۰,۰۳	۲,۴۵	۱,۷۵	۰,۳۲	۰,۱۱	۱,۷۴	۰,۲۶	۰,۰۷	۰,۰۳	۰,۵۴	مگنزیووهورنبلند
24_C4_B	۷,۰۳	۱,۱۲	۰,۹۷	۰,۱۵	۰,۰۸	۲,۳۸	۱,۸۰	۰,۵۷	۰,۰۴	۲,۳۹	۱,۸۱	۰,۳۰	۰,۰۸	۱,۸۱	۰,۱۹	۰,۰۴	۰,۰۳	۰,۵۷	مگنزیووهورنبلند
24_C4_E	۸,۸۴	۱,۲۳	۱,۱۶	۰,۰۶	۰,۱۷	۲,۶۶	۲,۰۹	۰,۵۵	۰,۰۶	۲,۲۷	۱,۶۹	۰,۳۲	۰,۱۳	۱,۶۷	۰,۳۱	۰,۰۴	۰,۰۴	۰,۵۲	مگنزیووهورنبلند
24_C5_A	۸,۸۵	۱,۳۸	۱,۱۵	۰,۲۳	۰,۱۵	۲,۳۹	۱,۹۷	۰,۴۱	۰,۰۵	۲,۲۰	۱,۸۵	۰,۳۳	۰,۱۴	۱,۸۵	۰,۱۵	۰,۰۵	۰,۰۳	۰,۵۳	مگنزیووهورنبلند
24_C5_B	۸,۹۸	۱,۱۹	۱,۰۲	۰,۱۷	۰,۱۱	۲,۲۹	۱,۸۴	۰,۴۵	۰,۰۵	۲,۳۹	۱,۸۷	۰,۳۳	۰,۱۰	۱,۸۷	۰,۱۳	۰,۰۵	۰,۱۰	۰,۵۷	مگنزیووهورنبلند
24_C5_A	۷,۸۰	۰,۵۳	۰,۴۰	۰,۱۳	۰,۰۳	۱,۹۱	۱,۷۱	۰,۲۰	۰,۰۵	۲,۹۵	۱,۸۶	۰,۱۳	۰,۰۲	۱,۸۵	۰,۱۳	۰,۰۴	۰,۰۲	۰,۶۳	اکتنیولیت
24_C5_C	۸,۹۸	۱,۳۲	۱,۰۲	۰,۳۰	۰,۰۴	۲,۳۰	۱,۷۸	۰,۵۲	۰,۰۶	۲,۲۲	۱,۸۵	۰,۳۲	۰,۰۷	۱,۸۴	۰,۱۶	۰,۰۴	۰,۰۴	۰,۵۷	مگنزیووهورنبلند
35_C1_A	۷,۲۸	۱,۰۹	۰,۷۲	۰,۳۷	۰,۰۳	۱,۳۳	۱,۰۵	۰,۲۷	۰,۰۲	۲,۲۴	۱,۹۲	۰,۱۹	۰,۰۳	۱,۹۲	۰,۰۸	۰,۰۱	۰,۰۱	۰,۷۶	مگنزیووهورنبلند
35_C1_D	۷,۰۰	۱,۴۲	۱,۰۰	۰,۴۲	۰,۰۴	۱,۵۱	۱,۰۷	۰,۴۴	۰,۰۲	۳,۰۱	۱,۸۸	۰,۲۴	۰,۰۵	۱,۸۸	۰,۱۲	۰,۰۴	۰,۰۱	۰,۷۴	مگنزیووهورنبلند
35_C2_A	۷,۴۳	۰,۸۲	۰,۵۷	۰,۲۵	۰,۰۳	۱,۲۳	۰,۹۸	۰,۲۵	۰,۰۴	۳,۴۴	۱,۹۵	۰,۱۷	۰,۰۲	۱,۹۵	۰,۰۵	۰,۰۲	۰,۰۱	۰,۷۸	مگنزیووهورنبلند
35_C2_D	۸,۸۸	۱,۷۵	۱,۱۴	۰,۶۱	۰,۰۵	۱,۵۴	۱,۳۰	۰,۲۴	۰,۰۴	۲,۷۳	۱,۹۳	۰,۳۲	۰,۰۶	۱,۹۴	۰,۰۶	۰,۰۲	۰,۰۱	۰,۶۸	مگنزیووهورنبلند
35_C2_E	۷,۰۸	۱,۲۷	۰,۹۲	۰,۳۵	۰,۰۷	۱,۴۷	۱,۱۲	۰,۳۵	۰,۰۴	۳,۰۶	۱,۹۳	۰,۲۳	۰,۰۴	۱,۹۳	۰,۰۷	۰,۰۵	۰,۰۱	۰,۷۳	مگنزیووهورنبلند
35_C3_B	۸,۵۳	۱,۹۸	۱,۴۷	۰,۵۱	۰,۰۶	۱,۸۱	۱,۳۵	۰,۵۶	۰,۰۳	۲,۵۹	۱,۹۰	۰,۴۲	۰,۰۸	۱,۹۰	۰,۱۰	۰,۰۵	۰,۰۳	۰,۶۸	مگنزیووهورنبلند
35_C3_C	۷,۱۱	۱,۲۹	۰,۸۹	۰,۳۹	۰,۰۴	۱,۳۸	۱,۰۸	۰,۳۰	۰,۰۲	۳,۱۴	۱,۹۴	۰,۲۶	۰,۰۴	۱,۹۴	۰,۰۶	۰,۰۴	۰,۰۱	۰,۷۴	مگنزیووهورنبلند
35_C4_A	۸,۹۶	۱,۵۰	۱,۰۴	۰,۴۷	۰,۰۴	۱,۵۵	۱,۲۱	۰,۳۳	۰,۰۲	۲,۹۰	۱,۹۳	۰,۲۹	۰,۰۵	۱,۹۳	۰,۰۷	۰,۰۵	۰,۰۲	۰,۷۱	مگنزیووهورنبلند
35_C4_D	۸,۸۲	۱,۱۸	۰,۴۶	۰,۰۵	۱,۶۰	۱,۱۸	۰,۴۲	۰,۰۳	۲,۸۴	۱,۹۴	۰,۳۲	۰,۰۶	۱,۹۴	۰,۰۶	۰,۰۲	۰,۰۲	۰,۷۱	مگنزیووهورنبلند	

جدول ۲ نتایج حاصل از تجزیه نقطه‌ای پلاژیوکلارها در دیوریت‌های گابرویی مورد بررسی. محاسبه‌ی کاتیون‌ها بر پایه ۸ اکسیژن انجام شده است.

Sample	SiO <sub>2</sub>	Al <sub>2</sub> O <sub>3</sub>	Fe <sub>2</sub> O <sub>3</sub>	CaO	Na <sub>2</sub> O	K <sub>2</sub> O	Total	Si	Al	Fe <sup>3+</sup>	Ca	Na	K	Ab	An	Or
6_C3_A_Rim	55.19	25.90	0.1	7.17	7.91	0.11	100	25.4	1.75	-	0.34	0.68	0.1	0.66	0.23	0.01
6_C3_B	55.96	25.05	0.6	7.21	7.82	0.14	99.78	25.4	1.35	-	0.35	0.68	0.1	0.66	0.33	0.01
6_C3_C	55.28	25.98	0.14	7.54	7.77	0.12	99.76	25.2	1.37	-	0.36	0.67	0.1	0.64	0.35	0.01
6_C3_D	55.8	25.42	0.2	7.01	7.99	0.15	99.67	25.6	1.34	-	0.34	0.69	0.1	0.67	0.32	0.01
6_C3_E	55.12	25.87	0.5	12.60	7.10	0.18	99.42	25.8	1.61	-	0.62	0.42	-	0.40	0.59	-
6_C3_F	51.36	25.76	0.49	12.45	7.64	0.32	99.01	25.6	1.61	-	0.61	0.41	0.02	0.40	0.59	0.02
6_C3_G	51.78	25.21	0.16	11.98	4.53	0.11	98.77	25.7	1.63	-	0.59	0.40	0.01	0.40	0.59	0.01
6_C3_H	50.67	25.74	0.79	12.69	4.57	0.11	98.47	25.5	1.63	-	0.63	0.41	0.1	0.79	0.60	0.01
6_C3_I	51.48	25.99	0.7	12.76	4.53	0.18	98.90	25.6	1.62	-	0.63	0.40	-	0.39	0.61	-
6_C3_J	51.57	25.87	0.6	12.60	4.62	0.13	98.86	25.7	1.62	-	0.62	0.41	0.1	0.40	0.60	0.01
6_C3_K_Core	55.20	25.57	0.23	12.63	4.67	0.12	99.41	25.9	1.59	0.1	0.62	0.41	0.1	0.40	0.60	0.01
24_C1_A_Rim	55.76	25.90	-	4.87	9.44	0.09	100.97	25.7	1.24	-	0.33	0.80	0.1	0.77	0.22	-
24_C1_B	55.89	25.00	-	7.07	7.71	0.07	101.33	25.6	1.35	-	0.36	0.66	-	0.65	0.35	-
24_C1_C	55.44	25.28	-	8.24	7.71	0.08	100.35	25.1	1.38	-	0.39	0.63	-	0.61	0.38	-
24_C1_D	55.72	25.12	-	7.87	7.79	0.06	100.81	25.3	1.36	-	0.36	0.67	-	0.65	0.35	-
24_C1_E	55.13	25.27	-	5.61	8.84	0.13	99.88	25.7	1.27	-	0.27	0.76	0.1	0.76	0.26	0.01
24_C1_F	55.14	25.05	-	5.76	8.74	0.09	100.32	25.1	1.28	-	0.27	0.75	-	0.73	0.27	-
24_C1_G	55.26	25.77	-	6.80	8.17	0.08	100.82	25.7	1.22	-	0.33	0.70	-	0.68	0.22	-
24_C1_H	55.62	25.13	-	5.74	8.92	0.10	100.50	25.3	1.26	-	0.27	0.77	0.1	0.73	0.26	0.01
24_C1_I-Core	55.89	25.66	-	8.15	7.30	0.08	100.79	25.6	1.40	-	0.39	0.63	-	0.62	0.28	-
24_C6_A_Rim	55.06	25.77	-	5.89	8.77	0.06	101.45	25.7	1.28	-	0.28	0.74	-	0.73	0.27	-
24_C6_B	55.88	25.94	-	8.07	7.12	0.05	100.86	25.8	1.41	-	0.31	0.81	-	0.60	0.40	-
24_C6_C	55.33	25.65	-	8.15	7.32	0.13	100.30	25.6	1.40	-	0.39	0.63	0.1	0.61	0.38	0.01
24_C6_D	55.27	25.64	-	7.38	7.87	0.07	100.33	25.4	1.35	-	0.35	0.68	-	0.68	0.34	-
24_C6_E	55.34	25.71	-	6.05	8.68	0.10	100.88	25.1	1.49	-	0.29	0.74	0.1	0.72	0.28	0.01
24_C6_F	55.46	25.41	-	6.7	8.69	0.09	100.72	25.2	1.27	-	0.29	0.74	-	0.72	0.28	-
24_C6_G	55.20	25.77	-	5.98	8.73	0.08	100.72	25.0	1.29	-	0.28	0.75	-	0.72	0.27	-
24_C6_H	55.51	25.43	-	4.45	9.63	0.07	101.09	25.8	1.21	-	0.21	0.82	-	0.79	0.20	-
24_C6_I-Core	55.51	25.45	-	5.75	8.87	0.08	100.74	25.7	1.27	-	0.27	0.76	-	0.73	0.26	-
24_C9_A_Rim	55.05	25.97	-	4.16	9.44	0.12	100.14	25.9	1.20	-	0.20	0.84	0.1	0.81	0.19	0.01
24_C9_B	55.98	25.15	-	5.47	8.84	0.21	100.85	25.7	1.28	-	0.26	0.76	0.1	0.74	0.25	0.01
24_C9_C	55.14	25.87	-	5.16	9.19	0.09	100.14	25.5	1.24	-	0.24	0.79	0.1	0.76	0.23	0.01
24_C9_D	55.10	25.13	-	6.88	8.13	0.23	100.27	25.7	1.22	-	0.32	0.70	0.1	0.68	0.31	0.01
24_C9_E	55.81	25.13	-	7.03	7.65	0.10	100.11	25.3	1.37	-	0.36	0.66	0.1	0.64	0.35	0.01
24_C9_F	55.05	25.15	-	6.86	8.86	0.26	100.45	25.0	1.47	-	0.21	0.59	0.1	0.58	0.40	0.01
24_C9_G	55.90	25.02	-	8.72	7.12	0.08	100.74	25.8	1.42	-	0.22	0.61	-	0.59	0.41	-
24_C9_H	55.66	25.66	-	9.75	6.94	0.11	99.27	25.0	1.44	-	0.17	0.57	0.1	0.54	0.45	0.01
24_C9_I-Core	55.17	25.20	-	9.7	8.4	0.07	100.16	25.6	1.43	-	0.24	0.59	-	0.57	0.42	-
35_C4_A_Rim	55.05	25.71	-	7.6	8.1	0.08	99.95	25.6	1.22	-	0.34	0.89	-	0.67	0.22	-
35_C4_B	55.12	25.71	-	12.13	4.88	0.09	99.83	25.1	1.59	-	0.39	0.43	0.1	0.42	0.58	0.01
35_C4_C	55.12	25.97	-	11.92	4.94	0.07	99.42	25.3	1.56	-	0.38	0.44	-	0.43	0.57	-
35_C4_D	55.18	25.84	-	12.65	4.73	0.10	98.20	25.1	1.57	-	0.32	0.42	0.1	0.41	0.59	0.01
35_C4_F_Core	55.87	25.92	-	11.76	4.92	0.13	98.6	25.3	1.56	-	0.38	0.44	0.1	0.43	0.56	0.01
35_C3_A_Rim	55.20	25.87	-	11.7	5.55	0.05	100.74	25.7	1.52	-	0.33	0.48	-	0.47	0.53	-
35_C3_B	55.44	25.71	-	10.84	5.81	0.03	100.22	25.4	1.52	-	0.32	0.51	-	0.49	0.51	-
35_C3_C	55.73	25.03	-	6.05	8.77	0.07	100.84	25.9	1.51	-	0.31	0.71	-	0.69	0.30	-
35_C3_D_Core	55.79	25.77	-	6.21	8.73	0.24	98.84	25.0	1.50	-	0.30	0.72	0.1	0.70	0.29	0.01
35_C7_A_Rim	55.42	25.66	-	10.74	5.88	0.09	99.99	25.4	1.52	-	0.32	0.50	0.1	0.49	0.51	0.01
35_C7_B	55.26	25.73	-	11.11	5.48	0.08	100.86	25.4	1.52	-	0.33	0.48	-	0.47	0.53	-
35_C7_C_Core	55.36	25.75	-	8.19	7.14	0.08	98.41	25.1	1.58	-	0.39	0.63	-	0.61	0.38	-
35_C8_A_Rim	55.44	25.77	-	11.88	5.03	0.12	99.73	25.2	1.57	-	0.38	0.44	0.1	0.43	0.56	0.01
35_C8_B	55.07	25.78	-	5.8	8.59	0.08	101.11	25.1	1.49	-	0.29	0.73	-	0.77	0.28	-
35_C8_C	55.64	25.86	-	9.99	6.12	0.09	99.52	25.2	1.58	-	0.38	0.54	0.1	0.52	0.47	0.01
35_C8_D	55.19	25.89	-	10.85	5.53	0.08	100.16	25.4	1.53	-	0.32	0.48	-	0.48	0.52	-
35_C8_E_Core	55.70	25.01	-	7.84	7.47	0.10	100.12	25.2	1.57	-	0.38	0.60	0.1	0.63	0.38	0.01
22_C1_A-Rim	55.88	25.87	0.1	9.05	8.70	0.14	99.93	25.8	1.31	-	0.31	0.73	0.1	0.69	0.30	0.01
22_C1_B	55.92	25.48	0.20	6.25	8.67	0.15	99.87	25.8	1.29	0.1	0.30	0.75	0.1	0.71	0.29	0.01
22_C1_C	55.98	25.33	0.06	4.05	8.54	0.15	91.05	25.6	1.22	-	0.23	0.80	0.1	0.77	0.22	0.01
22_C1_D	55.05	25.79	-	3.81	9.00	0.06	99.77	25.2	1.19	-	0.18	0.77	0.3	0.78	0.18	0.01
22_C1_E	55.18	25.15	0.05	5.27	9.13	0.13	100.90	25.4	1.25	-	0.25	0.78	0.1	0.75	0.24	0.01
22_C1_F	55.02	25.06	0.05	5.30	9.27	0.09	100.28	25.3	1.26	-	0.25	0.80	0.1	0.76	0.24	-
22_C1_G	55.66	25.07	0.00	4.85	9.46	0.12	101.16	25.5	1.25	-	0.23	0.80	0.1	0.77	0.22	0.01
22_C1_H	55.85	25.46	0.01	4.76	9.53	0.17	100.58	25.7	1.22	-	0.23	0.82	0.1	0.78	0.21	0.01
22_C1_I_Rim	55.84	25.71	-	4.66	9.78	0.10	101.18	25.6	1.22	-	0.22	0.83	0.1	0.79	0.21	0.01



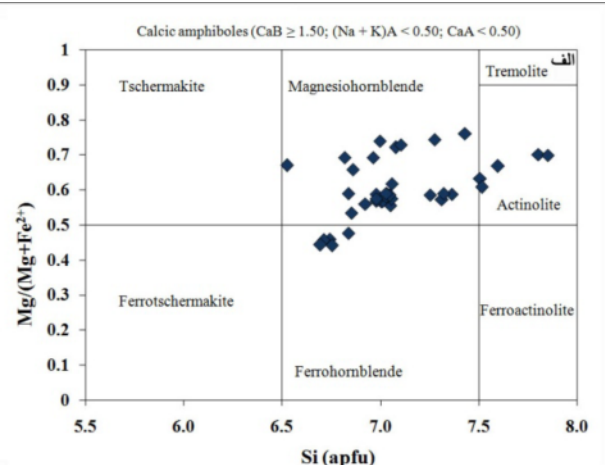
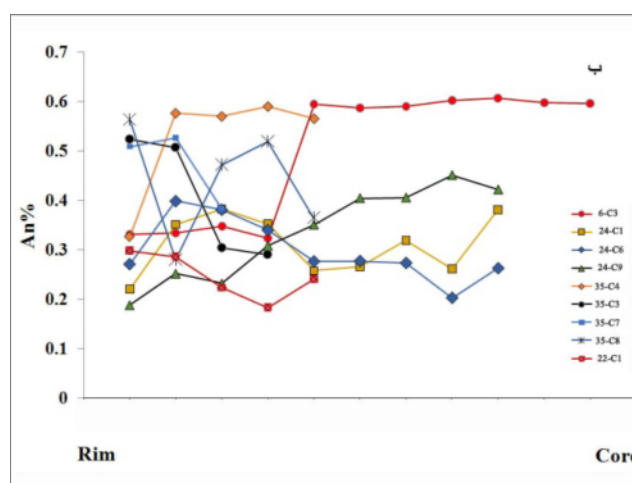
عادی و نوسانی، با ترکیب لابرادریت، آندزین و الیگوکلاز است (شکل ۳ ب؛ جدول ۲).

برای پیدایش منطقه‌بندی به ویژه منطقه‌بندی نوسانی در این کانی دلایل مختلفی ارائه شده‌اند. از جمله تغییر ترکیب شیمیایی ماقما [۲۰]، تغییر سرعت انتشار ترکیبات سازنده‌ی کانی نسبت به سطح بلور [۲۱]، تغییر شرایط فیزیکی و ترمودینامیکی سیستم ماقما که منجر به عدم تعادل شیمیایی در طول تبلور ماقما [۲۲] می‌شود و عواملی مانند اختلاط ماقمایی [۲۳]. تغییرات فشار آب نیز یکی دیگر از دلایل تشکیل منطقه‌بندی پلازیوکلازهاست [۲۴]، زیرا کاهش فشار ناشی از جایگیری ماقما در مخزن پوسته‌ای موجب ازدیاد و خروج سریع بخارها و منفی شدن شب منحنی‌های انجماد و شرایط برای تبلور قشرهای کلسیک فراهم می‌شود، سرانجام قشرهای سدیکتر در معرض انحلال قرار می‌گیرند [۲۵]. از آنجاکه دیوریت‌های گابرویی به منطقه‌ی فرورانشی وابسته‌اند (به بخش محیط زمین‌ساختی و خاستگاه ماقما مراجعه شود)، آزاد شدن آب از ورقه فرورونده طی افزایش فشار، حضور رسوب‌ها و پیشرفت واکنش‌های دگرگونی بر شرایط فیزیکوشیمیایی محیط تشکیل بلورها مؤثر بوده است [۲۶]. از طرفی دیگر با توجه به نقش ترکیبات پوسته‌ای در تشکیل آنها، به نظر می‌رسد هر دو فرآیند تغییرات شیمیایی ماقما و تغییرات گریزندگی اکسیژن احتمالاً در تغییرات ترکیب و منطقه‌بندی پلازیوکلازها نقش داشته‌اند.

بیشتر آمفیبول‌ها از نظر ترکیب در رده‌بندی لیک و همکاران [۱۹] در جایگاه مگنزیوهرنبلند و فروهورنبلند قرار می‌گیرند و برخی دیگر اکتینولیت هستند (شکل ۳ الف). تغییر ترکیب هورنبلند به سمت ترکیبات اکتینولیتی که حاوی سیلیس و منیزیم بالاتر و Ti, K, Na, Al و Kمتری هستند (جدول ۱)، ناشی از دگرسانی گرمابی [۲۰] و تجزیه است که با شواهد دگرنهادی منطقه همخوانی دارد. دما و فشار بدست آمده از این ترکیبات نیز نسبت به آمفیبول‌های دیگر پایین‌تر است. بتایراین در این مقاله برای تعیین دما- فشار و خاستگاه سنگ‌ها فقط ترکیب آمفیبول‌هایی (فروهورنبلند- مگنزیوهرنبلند) که حاصل تبلور مستقیم از ماقما هستند مورد توجه و استناد قرار می‌گیرد. نسبت  $(\text{Mg}/(\text{Fe}^{2+} + \text{Mg}))$  در مجموعه آمفیبول‌ها از ۰.۴۴ تا حدود ۰.۷۴ در نوسان است. مقدار Ti موجود در آنها کمتر از ۰.۵ apfu است (جدول ۱).

### پلازیوکلاز

محتوای آلبیت در پلازیوکلازها ۳۹ تا ۸۱ درصد بوده و ترکیب آن‌ها از لابرادریت تا الیگوکلاز در تغییر است و مقدار ارتوکلاز در آن‌ها ناچیز است (جدول ۲). بیشتر بلورهای پلازیوکلاز دارای منطقه‌بندی و برخی فاقد این ویژگی هستند. بلورهای بدون منطقه‌بندی دارای ترکیب الیگوکلاز و لابرادریت‌اند. الگوی منطقه‌بندی بلورهای پلازیوکلاز از حاشیه به مرکز در شکل ۳ ب به تصویر کشیده شده‌است. منطقه‌بندی آن‌ها از نوع



شکل ۳ الف) نمودار تقسیم‌بندی آمفیبول‌ها [۱۹] نشان می‌دهد که ترکیب بیشتر آمفیبول‌ها فروهورنبلند و مگنزیوهرنبلند بوده و برخی از آن‌ها اکتینولیت هستند. ب) الگوی منطقه‌بندی بلورهای پلازیوکلاز از حاشیه به مرکز در دیوریت‌های گابرویی.



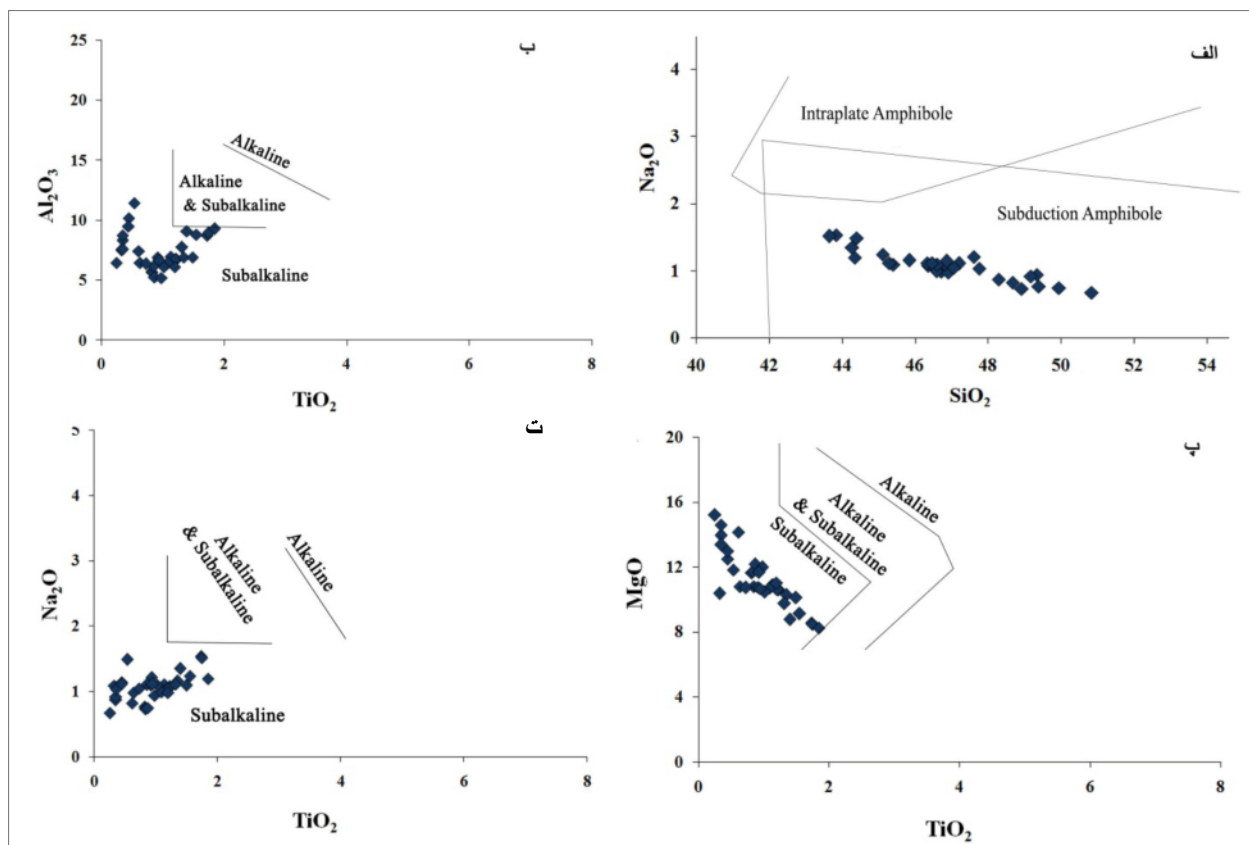
آن‌ها مشخص می‌کند همخوانی دارد (داده‌های منتشر نشده). چنانکه اشاره شد مقدار تیتانیوم و آلومینیوم در آمفیبول‌ها تحت تأثیر عاملی مانند فشار و دما است، بنابراین روند متفاوت ترکیب آمفیبول‌ها در شکل ۴ ب احتمالاً ناشی از شرایط متفاوت دما و فشار در زمان تشکیل آنها بوده است.

ترکیب شیمیایی کانی‌های مانند آمفیبول و بیوتیت نیز راهنمای مناسبی برای تعیین خاستگاه ماقماً محسوب می‌شوند. با استفاده از فراوانی اکسیدهای تیتانیوم و آلومینیوم موجود در آمفیبول، خاستگاه‌های پوسته‌ای و گوشته‌ای تفکیک شده است [۲۹].

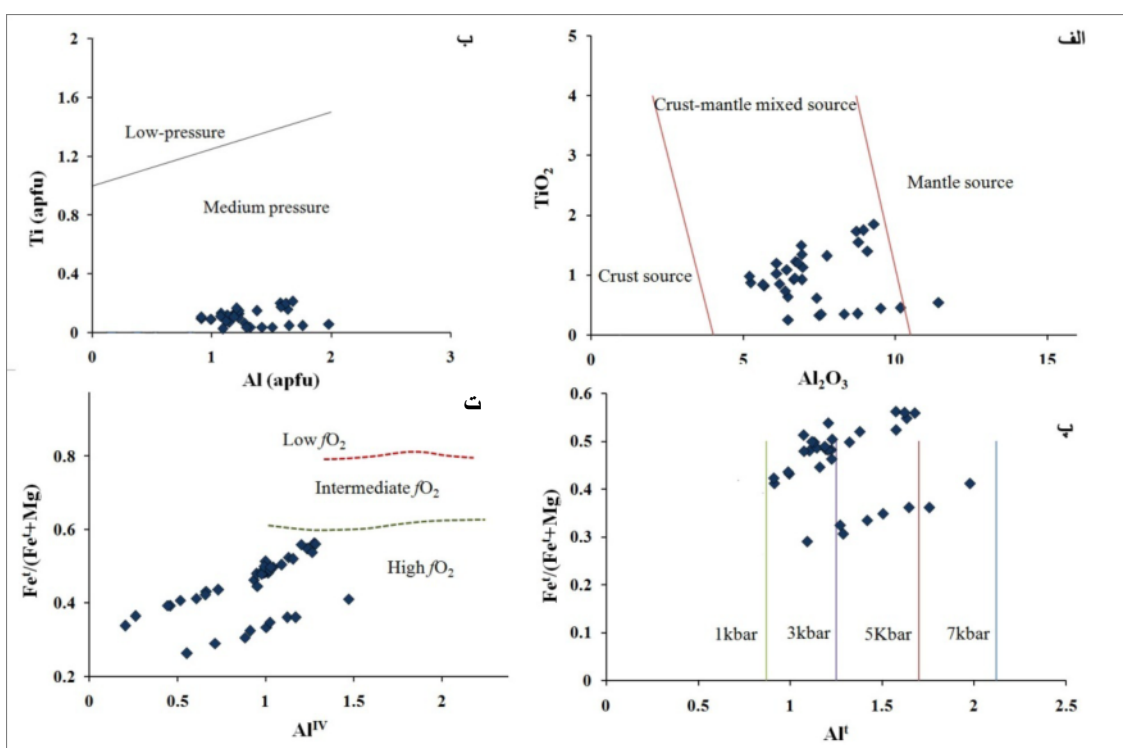
براساس نمودار  $TiO_2$  در مقابل  $Al_2O_3$  (برحسب درصد اکسید) ترکیب آمفیبول‌ها نمایان‌گر دخالت ماقماً گوشته‌ای و ترکیبات پوسته‌ای در تشکیل آنهاست (شکل ۵ الف).

### محیط زمین‌ساختی و خاستگاه ماقماً

از ترکیب شیمیایی آمفیبول برای تشخیص محیط زمین‌ساختی، بویژه تمایز محیط فرورانشی از محیط داخل صفحه‌ای استفاده شده است [۲۷]. با توجه به این تقسیم‌بندی، محتوای  $Na_2O$  کمتر از ۲ در آمفیبول‌های سنگ‌های مورد بررسی، ارتباط آن‌ها را با محیط زمین‌ساختی فرورانشی روشن می‌سازد (شکل ۴ الف). آمفیبول‌های موجود در شبه قلیائیها نسبت به قلیایی حاوی مقادیر پایین‌تری از اکسیدهای  $Ti$ ,  $K$ ,  $Al$  و  $MgO$  هستند [۲۸]. [۲۸] با استفاده از میزان  $Na_2O$ ,  $MgO$  و  $Al_2O_3$  در مقابل  $TiO_2$  سرشت قلیایی و شبه قلیایی بودن آمفیبول‌ها را بررسی کرده‌اند. چنانکه در شکل ۴ مشاهده می‌شود، با توجه به مقادیر اکسیدهای یاد شده، آمفیبول‌های مورد بررسی ماهیت شبه‌قلیایی دارند. این مسئله با نتایج حاصل از تجزیه سنگ کل این سنگ‌ها که ویژگی آهکی-قلیایی را برای



شکل ۴ (الف) نمودار  $Na_2O$ - $SiO_2$  [۲۷] بیانگر تشکیل آمفیبول‌های مورد بررسی در محیط وابسته به فرورانش است. (ب، پ، ت) ارزیابی ماهیت سنگ‌های حدوداً توده دروازه با استفاده از ترکیب شیمیایی آمفیبول‌ها [۲۸].



شکل ۵ (الف) نمودار  $\text{TiO}_2\text{-Al}_2\text{O}_3$  [۲۹] حاکی از ترکیب ماقمای گوشه‌ای با مواد پوسته‌ای در تشکیل هورنبلندهاست. (ب) موقعیت آمفیبول‌ها در نمودار  $\text{Ti-Al}^{\text{I}}$  [۲۶] نمایش دهندهٔ تشکیل آن‌ها تحت فشارهای بالاست. (پ) ترسیم  $\text{Fe}^{\text{t}}/(\text{Fe}^{\text{t}}+\text{Mg})$  در مقابل  $\text{Al}^{\text{I}}$  [۷] گستره‌ی فشار تشکیل هورنبلندها را نشان می‌دهد. (ت) استفاده از محتوای  $\text{G}$  در برابر  $\text{Al}^{\text{IV}}$   $\text{Fe}^{\text{t}}/\text{Fe}^{\text{t}}+\text{Mg}$  [۷] نمایان‌گر شرایط فشار بخشی بالای اکسیژن ضمن تشکیل آمفیبول‌هاست.

دارند [۵]. بعلاوهٔ فراوانی عناصر در ترکیب این کانی تابع فشار، دما و فشار بخشی اکسیژن است. این بررسی‌ها نشان داده‌اند که با افزایش دما و فشار مقدار تیتانیوم، سدیم، آلومینیوم، پتاسیم و  $\text{Mg}^{\#}$  در آمفیبول‌ها افزایش می‌یابد، در حالی که میزان  $\text{Si}$  و  $\text{Mn}$  و  $\text{Ca}$  کاهش خواهد یافت [۳۲، ۳۳].

#### زمین دماسنجدی

زمین‌سنجی زوج کانی‌های هورنبلند-پلاژیوکلاز همزیست یکی از متداول‌ترین روش‌های محاسبه‌ی دما در سنگ‌های آهکی-قلیایی بهشمار می‌رود [۵، ۹، ۳۴]. با استفاده از این روش (معادله‌ی ۱)، میانگین دمای تعادل پلاژیوکلاز-هورنبلند حدود ۷۰۹ درجه‌ی سانتی‌گراد (معادل ۹۷۶ کلوین) بدست آمد، که با میانگین دمای محاسبه شده از معادله‌ی ۲ (۷۳۸ درجه‌ی سانتی‌گراد) و ۳ (۷۰۳ درجه‌ی سانتی‌گراد) که به ترتیب بر پایه‌ی محتوای آلومینیوم و تیتانیوم در هورنبلند هستند همخوانی دارد (جدول ۳). فشار مورد نیاز در معادله‌ی ۲ از روش [۶] (در ادامه بحث به آن اشاره خواهد شد) محاسبه شده‌است. حداقل و حداکثر دمای حاصل از روش‌های اشاره

میزان عدد منیزیمی ( $\text{Mg}^{\#}$ ) در هورنبلند نیز فاکتور مناسبی برای شناسایی خاستگاه ماقماست [۳۰، ۳۱]. محتوای  $\text{Mg}^{\#}$  بیش از ۰/۷۰ معرف خاستگاه گوشه‌ای و مقادیر کمتر از ۰/۵ بر خاستگاه پوسته‌ای ماقما دلالت دارد. مقادیر بین دو عدد یاد شده حاکی از دخالت خاستگاه پوسته‌ای و گوشه‌ای در تشکیل ماقماست [۳۱، ۳۰]. گستره‌ی عدد منیزیمی ۰/۴۵-۰/۷۸ (جدول ۱) در هورنبلندهای دیوریت‌های گابرویی منطقه بر نقش هر دو ماقمای پوسته‌ای و گوشه‌ای دلالت دارد و آمیختگی ترکیبات گوشه‌ای و پوسته‌ای را برای این سنگ‌ها تأیید می‌کند. تصور می‌شود که احتمالاً ماقمای گوشه‌ای در اتفاق ماقمایی در منطقه‌ی پوسته متببور شده و ضمن سرد شدن، آمیختگی با مواد پوسته‌ای ترکیب شیمیایی آن را تغییر داده‌است.

#### شرایط فیزیکوشیمیایی تبلور

آمفیبول‌ها دارای ساختار کانی‌شناسی و فرمول شیمیایی گستره‌ و متنوعی هستند و در بسیاری از سنگ‌ها در دما ( $400-1150^{\circ}\text{C}$ ) و فشارهای متفاوت (۱-۲۳ کیلوبار) حضور

میانگین فشار برای تشکیل آمفیبیول‌ها ۲/۸۶ کیلوبار براورد می‌شود. دمای مورد نیاز برای این فشارسنجدی از روش دماستجی هورنبلند-پلازیوکلаз [۳۴] بدست آمده است.

$$P(\pm 0.6 \text{ kbar}) = 4.76 \text{ Al}^t - 3.01 \times \frac{[T(\text{ }^\circ\text{C}) - 675]}{85} + 0.530 \text{ Al}^t + 0.005294 \times [T(\text{ }^\circ\text{C}) - 675] \quad (5)$$

آمفیبیول‌ها در نمودار  $\text{Ti-Al}^t$  [۳۶] در بخش فشارهای متوسط قرار می‌گیرند (شکل ۵ ب)، در حالی که محتوای  $\text{Al}^t$  و  $\text{Fe}^t/(\text{Fe}^t + \text{Mg})$ ، بیشترین گسترده‌ی فشار تشکیل آمفیبیول‌ها را از ۱ تا ۵ کیلوبار نشان می‌دهد (شکل ۵ پ). چنانکه در نمودار تقسیم‌بندی مشاهده شد آمفیبیول‌ها از نوع فروهورنبلند و مگنزیوهومنبلند هستند و فاصله ایجاد شده بین نمونه‌ها در شکل ۵ پ و ت قابل پیش‌بینی و ناشی از متفاوت بودن مقدار آهن در ترکیب آمفیبیول‌هاست. به منظور بررسی بیشتر تعیین فشار نمونه‌های مورد بررسی از روش‌های دیگری نیز استفاده شد که معادلات آنها به شرح زیرند.

$$P(\pm 3 \text{ kbar}) = -3.92 + P(\pm 1 \text{ kbar}) = -4.76 + 5.03 \text{ Al}^t \quad (6) \quad (\text{معادله ۶})$$

$$P(\pm 0.5 \text{ kbar}) = -3.46 + P(\pm 0.6 \text{ kbar}) = -3.01 + 4.23 \text{ Al}^t \quad (7) \quad (\text{معادله ۷})$$

حداقل، حداکثر و میانگین فشارهای بدست آمده از روش‌های بالا در جدول ۳ ارائه شده‌اند که اعداد حاصل، همخوانی خوبی نشان می‌دهند. میانگین دمای بدست آمده در نمونه‌های مختلف از روش‌های متفاوت تقریباً مشابه‌اند، ولی بیشترین

شدید نیز در جدول ۳ ارائه شده است. از آنجا که دیوریت‌های گلابرویی منطقه در اثر آمیختگی ماگمای گوشت‌های و مواد حاصل از ذوب‌بخشی پوسته ایجاد شده‌اند، این دما احتمالاً مربوط به برقراری دوباره تعادل بین کانی‌ها در مراحل آخر ماغمایی است.

$$T[\pm 311 \text{ K}] = 0.677P[\text{kbar}] - 48.98 / -0.0429 - 0.0083144 \ln \{(Si-4/8-Si)XAb\} \quad (8) \quad (\text{معادله ۸})$$

$$T(\text{ }^\circ\text{C}) = 25.3P(\text{kbar}) + 654.9 \quad (9) \quad (\text{معادله ۹})$$

$$(T < 970 \text{ }^\circ\text{C}) = 1204(\text{Ti}) + 545 \quad (10) \quad (\text{معادله ۱۰})$$

### براورد فشار

با استفاده از ترکیب آمفیبیول‌ها معادله‌های مختلفی به منظور براورد فشار ارائه شده‌اند [۷-۲] که بهترین روش محاسبه فشار از معادله‌ی زیر است که براساس مقدار  $\text{Al}$  کل در هورنبلند تنظیم شده است. زیرا میزان آلومینیوم موجود در ساختار آمفیبیول رابطه مستقیم با تغییرات فشار دارد [۶].

$$P(\pm 0.6 \text{ kbar}) = -3.01 + 4.76 \text{ Al}^t \quad (11) \quad (\text{معادله ۱۱})$$

در این رابطه  $P$  برابر است با فشار بر حسب کیلوبار و  $\text{Al}^t$  میزان آلومینیوم کل در ترکیب آمفیبیول است. با استفاده از این فرمول میانگین فشار بدست آمده برای تبلور آمفیبیول در گلابرودیوریت‌های منطقه برابر با  $35/3$  کیلوبار است.

معادله‌ی اندرسون و اشمتیت [۷] یکی دیگر از موارد ارائه شده برای محاسبه‌ی فشار است. در معادله‌ی (۵) هر دو پارامتر دما و فشار بخشی اکسیژن دخالت دارند که براساس آن

جدول ۳ محاسبه دما و فشار سنگ‌های حدوات جنوب قزوین به روش‌های مختلف.

روش‌ها	فشار (کیلوبار)		
با استفاده از روش محتوای آلومینیوم در هورنبلند	Min	Max	Average
Hammarstrom and Zen (1986)	۱,۴	۴,۵	۲,۸۰
Hollister et al (1987)	۱	۴,۹	۲,۸۰
Johnson and Rutherford (1989)	۱	۴,۹	۲,۱۹
Schmidt (1992)	۲,۱	۴,۹	۳,۳۵
Anderson and Smith (1995)	۱,۳	۴,۹	۲,۸۶
دما (سانتی‌گراد)			
Otten (1984)	۶۳۱	۷۹۸	۷۰۳
Schmidt (1992)	۶۲۴	۷۹۰	۷۳۸
با استفاده از روش زوج کانی هورنبلند و پلازیوکلاز همزیست			
Holland and Blundy (1994)	۶۳۹	۷۸۶	۷۰۹

اکسیژن منجر به جایگزینی بیشتر  $\text{Fe}^{+2}$  در ساختار بلوری خواهد شد و فراوانی نسبت  $\text{F}^{3+}/\text{Fe}^{+2}$  مقدار جانشینی آلومینیوم به جای منیزیم را افزایش خواهد داد [۹]. در سنگ-های مورد بررسی میانگین  $\text{Mg}/(\text{Fe}^{+2}+\text{Mg}) < 0.3$  هورنبلندها نسبتاً پایین (حدود ۰.۴۵) است و این مسئله بر بالا بودن فشار بخشی اکسیژن ضمن تشکیل آمفیبولها دلالت دارد. آمفیبول‌های دارای  $\text{Al}^{IV} > 0.75$  و  $\text{Fe}^{+2}/(\text{Fe}^{+2}+\text{Mg}) > 0.3$  برای تعیین گریزندگی اکسیژن مناسب هستند [۷] که با توجه به سازگاری نمونه‌های مورد بررسی با این شرایط (جدول ۱)، چنانکه در شکل ۵ پ مشاهده می‌شود، به طور کلی فشار بخشی اکسیژن برای تشکیل آمفیبول‌ها بالا، و حضور آمفیبول حاکی از آبدار بودن ماقماست. محتوای  $\text{Al}^{IV}$  در آمفیبول به مقدار  $\text{H}_2\text{O}$  موجود در ماقما نیز حساس است [۸]. با استفاده از فرمول ارائه شده توسط [۸] میانگین آب بدست آمده از ترکیب شیمیایی هورنبلندها معادل با ۵/۸ درصد است. از طرفی ریدولفی [۸] با استفاده از اندیکس  $Mg$  فرمولی برای محاسبه گریزندگی اکسیژن ارائه داده است. بر اساس این محاسبه شرایط اکسایش برای سنگ‌های حدوداً توده دروازه نسبتاً بالا خواهد بود (به طور میانگین ۱۷). به منظور بررسی بیشتر، فشار بخشی اکسیژن از رابطه‌ی ۱۰ نیز محاسبه شد:

$$\log f_{\text{O}_2} (\text{bars}) = -30930/\text{T(k)} + 14.98 + 0.142 \frac{\text{P(bar)}}{\text{T(k)}} - 0.001 \quad [۳۷]$$

(معادله ۱۰)

با توجه به این فرمول میانگین مقدار لگاریتم گریزندگی اکسیژن برای آمفیبول‌های منطقه حدود (bars) ۱۶- براورد می‌شود که همچنان مؤید بالا بودن نسبی فشار بخشی اکسیژن در زمان تشکیل آن‌ها است و نتایج محاسبات پیشین را نیز تأیید می‌کند. با توجه به جدول داده‌های آنالیز شیمیایی، علی‌رغم کلسیک بودن همه آمفیبول‌ها، کانی نامبرده در برخی از سنگ‌ها مانند نمونه شماره ۶ منیزیم کمتری داشته و مقدار  $\text{Ti}$  و  $\text{Fe}$  در آنها بالاتر است. این دسته از هورنبلندها در نمودار تقسیم‌بندی آمفیبول‌ها شکل ۳ الف در بخش فروهورنبلنده قرار گرفته‌اند، اما برخی دیگر، مانند آمفیبول‌های موجود در نمونه شماره ۳۵ دارای منیزیم بیشتر و آهن و تیتانیوم کمتری هستند که با توجه به ترکیب شیمیایی خود در شکل ۳ از جمله مگنتیوهورنبلندها هستند. براساس محاسبات انجام شده، این دو دسته از آمفیبول‌ها در شرایط دما و فشار مشابهی تشکیل شده‌اند. به عنوان مثال میانگین دما و فشار بدست آمده برای فروهورنبلندها (نمونه شماره ۶) از روش [۶] به ترتیب برابر

فشار، علی‌رغم متفاوت بودن ترکیب شیمیایی، مربوط به نمونه ۶ و ۳۵ و کمترین آن به نمونه‌های ۲۲ و ۲۴ وابسته است. با این تفسیر به نظر می‌رسد که این سنگ‌ها در فشارهای اندکی متفاوت ایجاد شده‌اند، ولی عاملی غیر از دما و فشار کنترل کننده اصلی ترکیب شیمیایی آنها بوده است. با دقت به جدول آنالیز شیمیایی آمفیبول‌ها، نمونه‌های ۲۲، ۲۴ و ۳۵ دارای سیلیس و منیزیم بالا و نمونه‌ی ۶ از عناصری مانند آهن و تیتانیوم غنی هستند. این مسئله در بخش گریزندگی اکسیژن مورد بحث قرار خواهد گرفت. از آنجا که اختلاف کمینه و بیشینه‌ی فشار براورد شده از معادله اشمتیت کمتر بوده و اعداد به دست آمده در این روش همخوانی و نزدیکی بیشتری با یکدیگر دارند، برای تعیین فشار به این روش استناد شد. بنابراین با چشم پوشی از فشارهای زمین‌ساختی، فشاری (لیتوستاتیک) حدود ۳/۳۵ کیلوبار در زمان تبلور برای دیوریت-های گابرویی پیشنهاد می‌شود، که این فشار معادل عمق ۱۲ کیلومتری برای تبلور ماقمای این سنگ‌هاست.

### میزان گریزندگی اکسیژن

میزان فشار بخشی اکسیژن یکی از فاکتورهای مهم برای براورد شرایط فیزیکوشیمیایی حاکم بر تبلور توده‌های نفوذی است. برپایه‌ی بررسی‌های اندرسون و اشمتیت [۷] معلوم شد که عواملی مانند فوگاسیته (گریزندگی) اکسیژن، آب و فشار کل، بیش از دما کنترل کننده ترکیب شیمیایی کانی‌های سیلیکاتی مافیک هستند. مقدار  $\text{Mg}/(\text{Fe}^{+2}+\text{Mg})$  در این کانی‌ها همبستگی منفی با فشار بخشی اکسیژن نشان می‌دهد. این برداشت مستقل از نسبت  $\text{Fe}/\text{Mg}$  در سنگ کل است.

ترکیب شیمیایی و تشکیل دوگانه کانی‌ها از جمله موارد مهم برای تعیین این شرایط هستند. حضور مجموعه کانی‌های کوارتز، اسفن و ایلمنیت به همراه آمفیبول (به خصوص انواع غنی از منیزیم) بیانگر بالا بودن میزان گریزندگی اکسیژن ماقم است [۳۷، ۳۸]. برخی از آزمایش‌های تجربی، فشار بخشی اکسیژن را به عنوان عاملی برای تغییرات میزان  $(\text{Fet}+\text{Mg})/(\text{Fet}+\text{Mg})$  در کانی‌های مافیک و سنگ کل معرفی کرده‌اند.

[۴۱، ۴۰، ۳۹]. به همین دلیل ترکیب کانی‌هایی مانند بیونیت و آمفیبول به منظور براورد شرایط اکسایش و احیا مورد استفاده قرار می‌گیرد. ترکیب آمفیبول‌ها وابسته به تغییر فشار بخشی اکسیژن است. به طوری که پایین بودن گریزندگی

مقدار آنورتیت در پلازیوکلازها از ۱۸ تا ۶۱ متغیر است. هورنبلندها کلسیک، و در رده فروهورنبلند و منیزوهورنبلند قرار می‌گیرند. محتوای  $\text{Na}_2\text{O}$ ، ماهیت شبه قلیایی و گریزنده‌گی بالای اکسیژن در هورنبلندها، به خوبی ارتباط این سنگ‌ها را با محیط فرورانش نشان می‌دهد. برای سنگ‌های حدودهای اکسیژن در هورنبلندها، به خوبی ارتباط این سنگ‌ها را با محیط فرورانش نشان می‌دهد. برای سنگ‌های حدودهای اکسیژن، با استفاده از روش‌های ارائه شده براساس ترکیب کانی-منطقه، با این فرآیند می‌توان از این روش برای ارزیابی این سنگ‌ها استفاده کرد.

مقدار  $\text{Al}$  موجود در هورنبلند ۳۵ کیلوبار براورد شد. با توجه به این فشار مأگمای تشکیل دهنده دیوریت‌های گابروی در پوسته مستقر و سرد شده و ضمن این فرآیند با مواد پوسته‌ای آلایش یافته است و طی گریزنده‌گی اکسیژن متفاوت متبلور شده‌اند. محتوای  $\text{Mg}^+$ ,  $\text{Al}_2\text{O}_3$  و  $\text{TiO}_2$  در آمفیبول‌ها و نوسان ترکیب شیمیایی پلازیوکلاز دخالت هر دو خاستگاه پوسته‌ای و گوشته‌ای را تأیید می‌کند.

#### قدرتانی

نگارندگان از پدیدآورندگان محترم مجله بلورشناسی و کانی‌شناسی ایران کمال تشکر را دارند.

#### مراجع

- [1] Rutter M. J., Van der Laan S. R., Wyllie P. J., "Experimental data for a proposed empirical igneous geobarometer: Aluminium in hornblende at 10 kbar pressure", *Geology* 17 (1989) 897-900.
- [2] Hammarstrom J.M., Zen E., "Aluminum in hornblende: An empirical igneous geobarometer" *American Mineralogist* 71 (1986) 1297-1313.
- [3] Hollister L.S., Grissom G.C., Peters E.K., Stowell H.H. and Sisson V.B. "Confirmation of the empirical correlation of Al in hornblende with pressure of solidification of calc-alkaline plutons". *American Mineralogist* 72 (1987) 231-239.
- [4] Johnson M. C., Rutherford M. J, "Experimental calibration of the aluminum-in-hornblende geobarometer with application to Long Valley Caldera (California) volcanic rocks", *Geology* 17 (1989) 837-841.
- [5] Blundy J.D., Holland T.J.B., "Calcic amphibole equilibria and a new amphiboleplagioclase geothermometer", *Contribution Mineralogy and Petrology* 104 (1990) 208-224.
- [6] Schmidt M.W., "Amphibole composition in tonalite as a function of pressure: an experimental calibration of the Al-in hornblende barometer",

است با ۶۹۵ درجه‌ی سانتی‌گراد و ۴ کیلوبار، و برای مگنزیوهوبرنبلندها (مانند نمونه ۳۵) دما و فشار حاصل از روش یاد شده حدود ۶۹۲ درجه‌ی سانتی‌گراد و ۳۶ کیلوبار است. آمفیبول‌های غنی از منیزیم حاکی از شرایط نسبتاً اکسیدان هستند [۴۲]. مهمترین عامل تغییرات محتوای  $\text{Fe}^{2+}/(\text{Fe}^{2+}+\text{Mg})$ ، گریزنده‌گی اکسیژن معروف شده است [۴۱-۴۹] و نیز پایین بودن این عامل منجر به افزایش  $\text{Fe}^{2+}$  و در نهایت افزایش جانشینی  $\text{Al}$  به جای منیزیم خواهد شد [۹]، بنابر رده‌بندی [۷] میزان  $\text{Fe}^{\#}$  بین صفر تا ۰.۶ بیانگر گریزنده‌گی اکسیژن بالا، ۰.۸ تا ۰.۶ میانگین و ۰.۸ تا ۱.۰ گریزنده‌گی اکسیژن پایین است. بنابراین با توجه به میزان  $\text{Fe}^{\#}$  آمفیبول‌های مورد بررسی (۰.۲۲-۰.۵۶) به طور کلی در گستره‌ی گریزنده‌گی اکسیژن بالا قرار می‌گیرند، با این تفاوت که با توجه به محتوای  $\text{Fe}^{2+}/(\text{Fe}^{2+}+\text{Mg})$ ، گریزنده‌گی اکسیژن ضمن تشکیل فروهورنبلندها پایین‌تر از مگنزیوهوبرنبلندها بوده است. از طرف دیگر محتوای تیتانیوم پایین در مگنزیوهوبرنبلندها، شاهد دیگری بر بالا بودن فشار بخشی اکسیژن است. زیرا با افزایش این فاکتور، عنصر تیتانیوم وارد کانی‌های میزان خود مانند اکسید تیتانیوم، ایلمنیت و اسفن خواهد شد. بنابراین عامل حضور این دو نوع آمفیبول در سنگ‌های مورد بررسی نوسانات  $f_{\text{O}_2}$  طی تبلور دیوریت‌های گابروی است که باعث تغییرات مقدار عناصری مانند  $\text{Fe}^{\#}$  و  $\text{Ti}$  در ترکیب آمفیبول‌ها شده است. به طوریکه میانگین گریزنده‌گی اکسیژن محاسبه شده برای فروهورنبلندها برابر است با  $-14$ ، در حالیکه برای ترکیبات حاوی بیشترین مقدار منیزیم،  $-19$  است. لازم به یادآوری است که مقدار فشار بخشی اکسیژن در یک مأگما به محیط زمین-ساختی تشکیل آن هم بستگی دارد، و مأگماهای حاصل در مرز ورقه‌های همگرا از گریزنده‌گی اکسیژن بالاتری برخوردارند [۴۳]. در نهایت بالا بودن گریزنده‌گی اکسیژن به همراه ماهیت شبه-قلیایی آمفیبول‌ها، مجدد ارتباط سنگ‌های مورد بررسی را با محیط فرورانش به اثبات می‌رساند [۴۴].

#### برداشت

دیوریت‌های گابروی جنوب قروه واقع در شمال منطقه‌ی سندج-سیرجان شامل کانی‌های اصلی پلازیوکلاز و هورنبلند، و دارای بافت دانه‌ای و درون دانه‌ای هستند. بیشتر بلورهای پلازیوکلازها دارای منطقه‌بندی هستند ولی هورنبلندها این ویژگی را ندارند. براساس نتایج بررسی نقطه‌ای انجام شده،

- [۱۶] حسینی م، "شرح نقشه زمین‌شناسی ۱:۱۰۰۰۰۰ چهارگوش قروه، سازمان زمین‌شناسی و اکتشاف معدنی کشور، (۱۳۷۶).
- [۱۷] حریری ع، "نگرشی بر خاستگاه گروهی از سنگ‌های دگرگونه گستره قروه، پایان‌نامه کارشناسی ارشد، دانشگاه شهری بهشتی، (۱۳۷۴) ۱۶۱ ص.
- [۱۸] رضوانی ز، "مطالعه پتروگرافی و شیمی سنگ‌های دگرگونی مجاوری منطقه زربنه، جنوب قروه، کردستان، پایان‌نامه کارشناسی ارشد، دانشگاه بوعلی سینا، (۱۳۹۴) ۱۱۷ صفحه.
- [۱۹] Leake B. E., Woolly A .R., Arps C. E. S., Birch W. D., Gilbert M. C., Grice J. D., Hawthorne F. C., Kato A., Kisch H.J., Krivovichev V.G., Linthout K., Laird J., Mandarino J., Maresch W.V., Nickel E.h., Rock N.M.S., Schmucher J.C., Smith D. C., Stephenson N. C. N, Unungaretti L., Whittaker E. J. W., Youzhi G., "Nomenclature of Amphiboles. Report of the Subcommittee on Amphiboles of the International Mineralogical Association Commission on New Minerals Names", European Journal of Mineralogy 9 (1997) 623-651.
- [۲۰] Agemar T., Worner G., Heumann A., Stable isotopes and amphibole chemistry on hydrothermally altered granitoids in the North Chilean Precordillera: a limited role for meteoric water?", Contribution to Mineralogy and Petrology 136 (1999) 331-344.
- [۲۱] Bottinga Y., Kudo A., Weil D., "Some observation of oscillatory zoning and crystallization of magmatic plagioclase", American Mineralogist 51(1966) 292-806.
- [۲۲] Hasse C S., Chadam J., Feinn D., Otoleva P., "Oscillatory zoning in plagioclase feldspar", Science 299 (1980) 272 \_ 274.
- [۲۳] Nelson S.T., Montana A., "Sieve- texture plagioclase in volcanic rocks production by rapid decompression", American Mineralogist 77 (1992) 1242-1279.
- [۲۴] Bateman R., "The interplay between crystallization, replenishment and hybridization in large felsic magma chambers", Earth Science Reviews 39 (1995) 91-106.
- [۲۵] Pearce T.H., Kolinsnick A.M., "Observation of plagioclase zoning using interference imaging", Earth Science Reviews 2 (1990) 9-26.
- [۲۶] Loomis T. P., Welber P. W., "Crystallization processes in the compositional zoning of Contribution Mineralogy and Petrology, 110 (1992) 304-310.
- [۷] Anderson J. L., Smith D. R., "The effects of temperature and  $fO_2$  on the Al-in-hornblende barometer", American Mineralogist 80 (1995) 549-59.
- [۸] Ridolfi F., Renzulli A., Puerini M., "Stability and chemical equilibrium of amphibole in calc-alkaline magmas: an overview, new thermobarometric formulations and application to subduction-related volcanoes", Contributions to Mineralogy and Petrology 160 (2010) 45-66
- [۹] Stein E., Dietl C., "Hornblende thermobarometry of granitoids from the Central Odenwald (Germany) and their implications for the geotectonic development of the Odenwald", Mineralogy and Petrology 72 (2001) 185-207.
- [۱۰] Uchida E., Endo S., Makino M., "Relationship between solidification depth of granitic rocks and formation of hydrothermal ore deposits", Resource Geology 57 (2007) 47-56.
- [۱۱] Anderson J. L., Barth A. P., Wooden J. L., Mazdab F., "Thermometers and thermobarometers in granitic systems". Reviews in Mineralogy and Geochemistry 69 (2008) 121-42.
- [۱۲] Hossain I., Tsunogae T., Rajesh H. M., "Geothermobarometry and fluid inclusions of dioritic rocks in Bangladesh: Implications for emplacement depth and exhumation rate", Journal of Asian Earth Sciences 34 (2009) 731-9.
- [۱۳] Mahmoudi S., Corfu F., Masoudi F., Mehrabi B., Mohajjal M., "U-Pb dating and emplacement history of granitoid plutons in the northern Sanandaj-Sirjan Zone, Iran", Journal of Asian Earth Sciences 41 (2011) 238-249.
- [۱۴] Azizi H., Najari M., Asahara Y., Catlos E. J., Shimizu M., Yamamoto K., "U-Pb zircon ages and geochemistry of Kangareh and Taghiabad mafic bodies in northern Sanandaj-Sirjan Zone, Iran: Evidence for intra-oceanic arc and back-arc tectonic regime in Late Jurassic", Tectonophysics 660 (2015) 47-64.
- [۱۵] Yajam S., Montero P., Scarrow J. H., Ghalamghash J., Razavi S. M. H., Bea F., "The spatial and compositional evolution of the Late Jurassic Ghorveh-Dehgolan plutons of the Zagros Orogen, Iran: SHRIMP zircon U-Pb and Sr and Nd isotope evidence", Geologica Acta 13(1) (2015) 25 - 43.

- [35] Otten M.T., "The origin of brown hornblende in Artfjallet gabbro and dolerites", Contribution to Mineralogy and Petrology 86 (1984) 189-199.
- [36] Hynes A., "A comparison of amphiboles from medium and low pressure metabasites", Contributions of Mineralogy and Petrology 81 (1982) 119-125.
- [37] Wones D. R., "Significance of the assemblage titanite + magnetite + quartz in granitic rocks", American Mineralogist 74 (1989) 744-749.
- [38] Enami M., Suzuki K., Liou J.G., Bird D.K., "Al-Fe<sup>3+</sup> and F- OH substitutions in titanite and constrains on their P-T dependence", European Journal of Mineralogy 5 (1993) 231-291.
- [39] Bogaerts M., Scaillet B., Auwera J.V., "Phase equilibria of the Lyngdal granodiorite (Norway): implications for the origin of metaluminous ferroan granitoids", Journal of Petrology 47 (2006) 2405-2431.
- [40] Pichavant M., Martel C., Bourdier J. L., Scaillet B., "Physical conditions, structure, and dynamics of a zoned magma chamber: Mt. Peleé (Martinique, Lesser Antilles Arc)", Journal of Geophysical Research (2002) 107.
- [41] Prouteau G., Scaillet B., "Experimental constraints on the origin of the 1991 Pinatubo dacite", Journal of Petrology 44 (2003) 2203-2241.
- [42] Enami M., Suzuki K., Liou J.G., "Bird D.K., Al-Fe<sup>3+</sup> and F- OH substitutions in titanite and constrains on their P-T dependence", European Journal of Mineralogy, 5 (1993), 231-291
- [43] Ewart A., "A review of the mineralogy and chemistry of tertiary recent dacitic, latitic, rhyolitic and related salic volcanic rocks, In: Fred, B. (Ed), Trondjemites, dacites, and related rocks", (1979).
- [44] Anderson J.L., "Status of thermo-barometry in granitic batholiths", Earth Science Review 87 (1996) 125-138.
- [35] Otten M.T., "The origin of brown hornblende in Artfjallet gabbro and dolerites", Contribution to Mineralogy and Petrology 86 (1982) 230-239.
- [27] Coltorti M., Bonadiman C., Faccini B., Grégoire M., O'Reilly S.Y., Powell W., "Amphiboles from suprasubduction and intraplate lithospheric mantle", Lithos 99 (2007) 68-84.
- [28] Molina J., Scarrow J., Montero P.G., Bea F., "High-Ti amphibole as a petrogenetic indicator of magma chemistry: evidence for mildly alkalic-hybrid melts during evolution of Variscan basic-ultrabasic magmatism of Central Iberia", Contribution to Mineralogy and Petrology 158 (2009) 69-98.
- [29] Jiang C. Y., An S. Y., "On chemical characteristics of calcic amphiboles from igneous rocks and their petrogenesis significance", Journal of Mineralogy and Petrology 3 (1984) 1-9.
- [30] Xie Y.W., Zhang Y.Q., "Peculiarities and genetic significance of hornblende from granite in the Hengduanshan region", Acta Metallurgica Sinica 10 (1990) 35-45.
- [31] Huaimin X., Shuwen D., Ping J., "Mineral chemistry, geochemistry and U-Pb SHRIMP zircon data of the Yangxin monzonitic intrusive in the foreland of the Dabie orogen Science in China: Series D", Earth Sciences 49 (2006) 684-695.
- [32] Esawi E.K., "Amph-Class: An excel spreadsheet for the classification and nomenclature of amphibole based on the 1997 recommendation of the international mineralogical Association", Computers Geosciences 30 (2004) 753-760.
- [33] Tuloch A. J., Challis G. A., "Emplacement depths of Paleozoic-Mesozoic plutons from western New Zealand estimated by hornblende-Al geobarometry", New Zealand Journal of Geology and Geophysics 43 (2000) 555-567.
- [34] Holland T., Blundy J., "Non-ideal interactions in calcic amphiboles and their bearing on amphibole-plagioclase thermometry", Contributions to Mineralogy and Petrology 116 (1994) 433-447.